

图2 改造后电路图

式中  $U$ —能耗制动直流电压;

$I$ —能耗制动直流电流;

$R$ —电机两相定子绕组的电阻;

$I_p$ —电机的额定电流。

经测量,Φ560 mm 开炼机电机的两相定子绕组的电阻为  $0.1 \Omega$ ,选取制动电流为  $352 A$ ,则制动电压为  $35.2 V$ 。

## 2.2 能耗制动直流电源

能耗制动的直流电源由 BK-2000 型控制变压器( $2000 VA, 380 V/36 V$ )和 4 只 ZP200A 型二极管( $1000 V$ )组成的单相桥式整流器构成。总费用约为 2000 元(原电磁抱闸为 3000 多元)。

## 3 结果

改造完成后试车时测量制动电流为  $312 A$ ,制动直流电压为  $24 V$ ,空载时  $1/4$  周完成制动,负载时可立即制动,达到了使用要求。

能耗制动系统投入使用一年来,没有异常,制动灵敏、可靠,电机运转良好,与原电磁抱闸制动相比,维护和维修量大大减小。

(银川佳通长城轮胎有限公司 李少文供稿)

## 影响子午线轮胎动平衡性能的因素及控制措施

中图分类号:U463.341 文献标识码:B

随着高速公路的飞速发展,对轿车子午线轮胎的乘坐舒适性和安全性能要求越来越高。为满足市场需要,轮胎生产厂家把动平衡作为产品质量控制的主要指标之一。为提高子午线轮胎的动平衡性能,我们从改进生产工艺方面进行了分析和探讨。

## 1 原因分析

以  $235/85R16LT$  轮胎的动平衡试验为例(测试设备为 MT-731 型轮胎平衡配重机)对影响轮胎动平衡的因素进行研究。我厂生产的  $235/85R16LT$  轮胎主要供出口,对动不平衡的数据控制比较严格;轮辋型号为  $5.50F \times 16$ 。

除了带束层、胎面中心和胎体中心偏移,胎面挤出不均匀,胎面、衬胶、胎侧搭接过多,胎圈左右质量不等及半成品部件过多等常见问题外,影响动平衡性能的因素还有胎面白口型设计、带束层裁断角度和成型部件接头分布。

### (1) 胎面白口型设计

分别采用两种不同的胎面白口型挤出  $235/85R16LT$  轮胎胎面,第 1 种口型板设计有两条槽,而另一种设计则没有,如图 1 所示。用这两种胎面分别成型一批轮胎进行动不平衡测试。结果发现,胎面白口型开槽,轮胎的动不平衡数值在  $120 g$  以内的为  $95\%$ ;胎面白口型没开槽,轮胎动不平衡数值在  $120 g$  以内的仅为  $60\%$ ,且动不平衡数值较大。

### (2) 带束层裁断角度

采用  $18^\circ$  与  $27^\circ$  裁断带束层分别成型一批轮胎进行动不平衡测试。结果发现,带束层采用  $18^\circ$  裁断角度的轮胎动平衡合格率为  $95\%$ ,明显高于用  $27^\circ$  裁断角度所生产轮胎的动平衡合格率(仅为  $65\%$ )。

### (3) 成型部件接头分布

在其它因素不变的条件下,外胎成型部件接头分布不同,轮胎动平衡数据相差很大。采用两种接头方式进行试验,分别为:内衬层  $0^\circ$ 、胎侧  $45^\circ$ 、 $2^{\#}$  帆布筒  $90^\circ$ 、胎面  $180^\circ$ 、 $1^{\#}$  帆布筒  $270^\circ$ ;内衬层  $0^\circ$ 、 $1^{\#}$  帆布筒  $90^\circ$ 、 $2^{\#}$  帆布筒和胎面  $180^\circ$ 、胎侧  $270^\circ$ 。结果发现,采用前一种接头方式,轮胎的动平衡合格率仅为  $60\%$ ,而采用后一种接头方式,轮胎的动平衡合格率为  $90\%$ 。

## 2 解决措施

根据上述原因分析,采取相应解决措施。

(1) 不定期检查成型时是否三线合一(灯光线、胎面中心线、传递环中心线),成型过程中检查半成品的接头是否按要求分布。

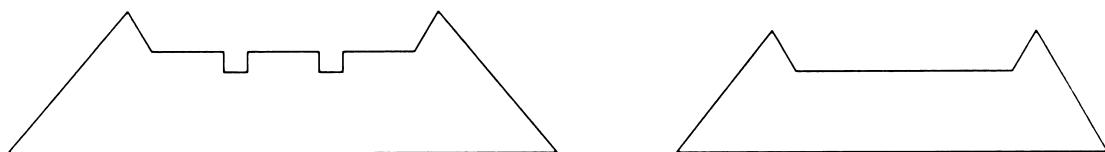


图1 胎面挤出口型结构示意

(2)检查各半成品的质量和长度是否达到工艺要求。我厂对半成品的尺寸及质量控制要求为:胎面长度公差  $\pm 7\text{ mm}$ ,复合长度公差  $\pm 8\text{ mm}$ ;宽度公差  $\pm 2\text{ mm}$ ;厚度公差  $\pm 0.5\text{ mm}$ ;胎面质量公差  $\pm 2\%$ ,胎侧复合质量公差  $\pm 4\%$ 。各规格轮胎胎面、胎侧复合的质量公差均控制在一定范围内,超出标准均为不合格,不能流入下道工序。

(3)成型时气密层的搭接控制在  $5\sim 10\text{ mm}$ ;胎面接头平接或错开  $2\sim 3\text{ mm}$ ;胎面口型设计使胶料在硫化过程中流动均匀;扣圈反包后帘布反包高度左右之差不大于  $5\text{ mm}$ ,且扣圈要正;成型过程中胎坯左右摆动不大于  $3\text{ mm}$ ;定型压力必须达到工艺要求。

### 3 改进效果

采取上述措施后,我厂生产的轮胎的动平衡合格率提高到90%左右,145R12,155R12,P215/75R15和P225/75R15等规格轮胎的动平衡合格率接近100%。

轿车子午线轮胎动平衡合格率的提高增大了产品的外销量,为今后子午线轮胎生产扩建打下了坚实的基础。

(贵州轮胎股份有限公司 毕春明  
李瑛 胡建军供稿)

### 停放时间对炭黑DBP吸收值测定结果的影响

中图分类号:TQ330.38<sup>+9</sup>;TQ330.1 文献标识码:B

炭黑粒子的聚集程度取决于炭黑聚集体中的空隙,它直接影响硫化胶的性能。炭黑邻苯二甲酸二丁酯(DBP)吸收值可作为炭黑粒子聚集程度的量度,DBP吸收值越大,炭黑的结构越高,胶料的粘度、定伸应力及硬度越大。因此,炭黑DBP吸收值是橡胶用炭黑的一个重要检测项目。本工

作研究了停放时间对炭黑DBP吸收值测定结果的影响。

## 1 实验

### 1.1 样品

炭黑N234,N660,荣华炭黑厂产品;炭黑N330,海城捷润炭黑厂产品;炭黑N550,辽滨炭黑厂产品;标准参比炭黑SRBs,中橡集团炭黑工业研究设计院提供。

### 1.2 试剂

邻苯二甲酸二丁酯,密度(25℃)1.045~1.050 g·cm<sup>-3</sup>,市售。

### 1.3 方法原理及操作

方法原理及操作步骤参见GB/T 3780.2—94中的B法。

### 1.4 结果表示

炭黑DBP吸收值  $D(10^{-5}\text{ m}^3 \cdot \text{kg}^{-1})$  按下式计算:

$$D = \frac{V}{M} \times 100$$

式中  $V$ —测定消耗DBP的体积,mL;

$M$ —试样质量,g。

## 2 结果与讨论

标准中规定测试前将炭黑样品在(105±2)℃的恒温干燥箱中干燥1 h,取出放在干燥器中冷却备用,但未提及干燥后停放多长时间内测定。各种炭黑样品不同停放时间下的DBP吸收值测定结果见表1。标准参比炭黑SRBs不同停放时间下的DBP吸收值测定结果见表2。

由表1和2可以看出,停放时间对炭黑DBP吸收值测定结果的影响较大,停放4 h的测定结果比停放0.5~1 h内的测定结果增大了 $3 \times 10^{-5} \sim 4 \times 10^{-5}\text{ m}^3 \cdot \text{kg}^{-1}$ 。这是由于停放时间过长,炭黑分子表面吸收了少量的水分,从而增